

УДК 537.311.1

## ПРЫЖКОВЫЙ ПЕРЕНОС В КВАЗИОДНОМЕРНОЙ СИСТЕМЕ СО СЛАБЫМ БЕСПОРЯДКОМ

Э. П. Нахмедов, В. Н. Пригодин, А. Н. Самухин

Изучена температурная зависимость прыжковой проводимости вырожденного Ферми-газа в квазиодномерной неупорядоченной системе в режиме слабой локализации. Показано, что при высоких температурах реализуется степенная зависимость, отвечающая прыжкам с постоянной длиной. При понижении температуры длина прыжков увеличивается и в конечном итоге зависимость становится моттовской:  $\exp[-(T_0/2T)^{1/4}]$ . Если система близка к переходу металл—диэлектрик, то область смены режимов достаточно широкая и в ней степенная зависимость проводимости от температуры отвечает критическому поведению вблизи андерсоновского перехода. При слабом поперечном зацеплении между нитями непосредственно к области температур с изотропным моттовским характером поведения проводимости примыкает сверху область, где продольная проводимость ведет себя активационным образом  $\exp[-T_0/2T]$ , а поперечная — как  $\exp[-(T_0/2T)^{1/2}]$ .

Как хорошо известно, в одномерной системе уже слабый беспорядок вызывает локализацию всех состояний [1, 2], включая область энергий  $\varepsilon \tau \gg 1$ , где  $\tau$  — время свободного пробега. В [3–5] было показано, что это утверждение сохраняется и в квазиодномерной системе, пока ширина зоны в поперечном направлении  $4t_{\perp}$  остается такой, что  $t_{\perp} \tau < 0.3$ . При  $t_{\perp} > 0.3/\tau$  наблюдается переход в металлическое состояние.

Локализация означает, что в области низких температур проводимость осуществляется прыжковым образом. Для вырожденного Ферми-газа с  $\varepsilon_F \tau \gg 1$  можно ожидать, что в этом случае проводимость дается формулой Мотта [6, 7]. Однако, как было указано в [8], в одномерной системе, в силу того что для нее самоусредняемой величиной является сопротивление, а не проводимость, вместо закона Мотта  $\ln \sigma \propto -1/T^{1/2}$  имеет место активационная зависимость [8]  $\ln \sigma \propto -1/T$ . Вопрос о прыжковой проводимости в квазиодномерной системе в рамках  $R$ — $\varepsilon$  протекания рассматривался в [9]. На основе численных расчетов было установлено, что температурная зависимость проводимости может быть представлена в виде

$$\ln \sigma \propto -1/T^m, \quad (1)$$

где показатель  $m$  является медленно меняющейся функцией  $T$  от значения  $m=1$  до  $m \simeq 0.25$  в пределе низких температур. Это означает, что с понижением температуры происходит перестройка путей протекания тока. При высоких температурах они носят одномерный характер и  $m=1$ , а при  $T \rightarrow 0$  они становятся трехмерными и тогда в соответствии с Моттом  $m=1/4$ .

В настоящей работе мы дадим детальное описание указанной выше перестройки путей протекания тока. Наш анализ опирается на подход, предложенный ранее для квазиодномерной системы [10]. Суть его состоит в том, что вначале решается одномерная неупорядоченная система, а затем учитываются межцепочечные перескоки в рамках приближения типа среднего поля, справедливого по числу ближайших соседей. Такой подход позволяет правильно учесть специфику квазиодномерной системы.

Рассматриваемая система обладает по сравнению с обычными трехмерными объектами тем преимуществом, что здесь многие модельные представления о локализованной фазе достаточно хорошо проверены. Поэтому мы в состоянии дать или наметить описание физической картины транспорта во всей области температур. Прыжковый перенос в области высоких температур в одномерной системе был рассмотрен в [11], в квазиодномерной — в [3]. Для нас эта область температур важна для получения правильного сшивания с низкотемпературной проводимостью.

## 1. Модель и постановка задачи

Для вычисления прыжковой проводимости необходимы характеристики диэлектрической фазы. Ниже мы кратко напомним их. Будем рассматривать квазиодномерную систему, чей электронный спектр имеет вид

$$\begin{aligned} \varepsilon(p) - \varepsilon_F &= v_F (|p_{\parallel}| - p_F) - t_{\perp} \varphi(p_{\perp}), \\ \varphi(p_{\perp}) &= \cos(p_x a_{\perp}) + \cos(p_y a_{\perp}). \end{aligned} \quad (2)$$

Здесь  $v_F$ ,  $p_F$  — скорость и импульс электрона на поверхности Ферми вдоль нити;  $t_{\perp}$  — резонансный интеграл между нитями, причем  $t_{\perp} \ll \varepsilon_F$ . Нити предполагаются упакованными в плоскую решетку с постоянной  $a_{\perp}$ . Относительно беспорядка считается, что он слабый  $\varepsilon_F \tau \gg 1$ . Время свободного пробега  $\tau$  равно

$$1/\tau = 2\pi N(0) u^2 c_{\text{имр}}, \quad (3)$$

где  $N(0)$  — плотность состояний на поверхности Ферми

$$N(0) = 1/\pi v_F a_{\perp}^2, \quad (4)$$

$c_{\text{имр}}$  — концентрация примесей,  $u$  — Фурье-образ примесного потенциала. Следует сказать, что для квазиодномерной системы можно ввести время свободного пробега по отношению к рассеянию вперед  $\tau_1$  и назад  $\tau_2$ . Мы ограничимся изотропным случаем  $\tau_1 = \tau_2 = 2\tau$ .

Настоящая модель при  $t_{\perp} \neq 0$  была изучена в [3] на основе самосоглазованного подхода Вольхарда и Фольфле [12]. Было установлено, что кинетический режим в модели задается одной универсальной функцией  $\alpha(\omega)$

$$\alpha(\omega) = D_j(\omega)/D_j^0, \quad j = \parallel, \perp, \quad (5)$$

где  $D_j(\omega)$  — коэффициент диффузии на частоте  $\omega$ , связанный с проводимостью  $\sigma_j(\omega)$  соотношением

$$\sigma_j(\omega) = 2e^2 N(0) D_j(\omega) = \sigma_j^0 \alpha(\omega), \quad (6)$$

$D_j^0$  — значение коэффициента диффузии, следующее из кинетического уравнения

$$D_{\parallel}^0 = v_F^2 \tau, \quad D_{\perp}^0 = \langle v_{\perp}^2 \rangle \tau = 1/2 (t_{\perp} a_{\perp})^2 \tau. \quad (7)$$

Непосредственно  $D_j(\omega)$  определяет поведение коррелятора плотности — плотность

$$P_n(x, \omega) = \int \frac{dq_{\parallel}}{2\pi} \int \frac{d^2 q_{\perp}}{(2\pi)^2} \frac{e^{iq_{\parallel} x + ia_{\perp}(q_{\perp}^n)}}{-i\omega + D_{\parallel}(\omega) q_{\parallel}^2 + \tilde{D}_{\perp}(\omega) |2 - \varphi(q_{\perp})|}, \quad (8)$$

где  $n = (n_x, n_y)$  — номер нити,  $\tilde{D}_{\perp}(\omega) = (2/a_{\perp}^2) D_{\perp}(\omega)$ . После обратного Фурье-преобразования функция

$$P_n(x, t) = \int \frac{d\omega}{2\pi} e^{-i\omega t} P_n(x, \omega + i0) \quad (9)$$

описывает процесс распыливания частицы со временем, помещенной в начальный момент при  $t=0$  на нить  $n = (0, 0)$  в точку  $x=0$  [13].

В [3] было показано, что андерсоновскому переходу металл—диэлектрик отвечает  $t_{\perp} = t_c$ , равное

$$t_c = 0.3/\tau, \quad (10)$$

где число не является универсальным и может зависеть от деталей спектра [5]. Поведение  $\alpha(\omega)$  вблизи перехода  $|\varepsilon| \ll 1$ , где

$$\varepsilon = (t_{\perp} - t_c)/t_c, \quad (11)$$

задается масштабом  $\omega_c$ , равным

$$\omega_c = \omega_0 |\varepsilon|^3, \quad \omega_0 = \pi/4\tau. \quad (12)$$

Если  $\omega_c \ll |\omega| \ll \omega_0$ , то  $\alpha(\omega)$  подчиняется скэйлинговой зависимости [12]

$$\alpha(\omega) = (-i\omega\tau)^{1/3}, \quad (13)$$

а при  $|\omega| \ll \omega_c$  на металлической стороне ( $t_{\perp} > t_c$ )

$$\alpha(\omega) = \varepsilon [1 + (-i\omega/\omega_c)^{1/3}], \quad (14)$$

в диэлектрической фазе ( $t_{\perp} < t_c$ )

$$\alpha(\omega) = \frac{-4i\omega\tau}{|\varepsilon|^2} \left[ 1 + \frac{i\omega}{\omega_c} \right]. \quad (15)$$

Поведение (15) характерно именно для диэлектрика. Уравнение (15) можно также записать в виде

$$\alpha(\omega) = -4i\omega\tau (\xi_j/l_j)^2, \quad (15a)$$

$$\xi_j = l_j |\varepsilon|, \quad l_{\parallel} = 4l = 4v_F\tau, \quad l_{\perp} = 2\sqrt{2} t_c \tau a_{\perp} \simeq a_{\perp}. \quad (16)$$

При этом частота  $\omega_c$  из (12) связана с  $\xi_j$  соотношением

$$\omega_c = [N(0) V_{100}]^{-1}, \quad V_{100} = \xi_{\parallel} \xi_{\perp}^2. \quad (17)$$

Параметр  $\xi_j$  в (16) представляет собой радиус локализации в продольном ( $j = \parallel$ ) или поперечном ( $j = \perp$ ) направлении;  $V_{100}$  — объем, приходящийся на локализованное состояние. Частота  $\omega_c$ , согласно (17), имеет тогда смысл среднего расстояния между соседними уровнями, находящимися в пределах  $V_{100}$ . Можно также определить  $\tau_c = 1/\omega_c$  как время локализации [13]. Действительно, согласно (9) и (15a), на временах  $t \gg \tau_c$  имеем

$$P_n(x, t) = \frac{1}{V_{100}} l^{-2r}, \quad r^2 = \left( \frac{x_{\parallel}}{\xi_{\parallel}} \right)^2 + \left( \frac{x_{\perp}}{\xi_{\perp}} \right)^2, \quad (18)$$

где  $x_{\perp} = a_{\perp} |n|$ . Выше мы перешли к континуальному пределу, воспользовавшись тем, что  $\xi_{\perp} \gg a_{\perp}$ . На временах  $t \ll \tau_c$  в системе имеет место аномальная диффузия, где среднеквадратичное смещение растет по закону [12, 13]

$$\langle x_j^2(t) \rangle = l_j^2 (t/\tau)^{2/3}. \quad (19)$$

Наконец, в пределе  $t_{\perp} \ll t_c$  локализация носит чисто одномерный характер и с точностью до коэффициентов  $\alpha(\omega)$  может быть записана в виде [3]

$$\alpha(\omega) = -4i\omega\tau + 32(\omega\tau)^2, \quad (20)$$

и, следовательно,

$$\omega_c = \omega_0 = \pi/4\tau, \quad \xi_{\parallel} = 4l, \quad \xi_{\perp} = a_{\perp}. \quad (21)$$

Заметим, что  $\xi_{\parallel}$  совпадает с наиболее вероятным значением радиуса локализации для одномерной системы [14, 15]. Что касается поперечного радиуса локализации, то его можно определить также исходя из следующей формулы:

$$P_n(x, t \rightarrow \infty) \approx e^{-2|x_{\parallel}|/\xi_{\parallel} - 2\beta_{\perp} x_{\perp}}, \quad (22)$$

где

$$\beta_{\perp} = \frac{x}{a_{\perp}}, \quad x = |\ln t_{\perp} \tau| = \ln \frac{4\omega_0}{\pi t_{\perp}}. \quad (23)$$

При этом следует помнить, что  $x_{\perp}$  принимает дискретные значения  $x_{\perp} = a_{\perp} |n|$ .

Таким образом, выше мы определили основные параметры диэлектрической фазы  $\omega_c$  и  $\xi_j$ . Следует сказать также, что, поскольку в настоящей модели локализация носит экспоненциальный характер, в силу слабого перекрытия распределение состояний в пространстве и по шкале энергий подчиняется пуассоновскому закону с плотностью состояний  $N(0)$ , определенной уравнением (4). Для одномерной системы этот факт достаточно хорошо проверен [14, 15].

Как известно, слабая локализация является результатом интерференции в примесном рассеянии [1, 2]. В процессе взаимодействия с фононами энергия электрона меняется и эффекты интерференции будут ослабляться [11]. Вообще говоря, взаимодействие с фононами вносит в кинетику электронов три масштаба:  $\tau_p$ ,  $\tau_e$ ,  $\tau_{\varphi}$  [16, 17]. Время релаксации импульса  $\tau_p$  следует различать также на  $\tau_{1p}$  и  $\tau_{2p}$  [11]. В принципе  $\tau_p$  можно включить в примесное упругое время [18]. Время  $\tau_e$  задает скорость энергетической релаксации или то же самое время жизни диффузора с данной энергией [19]. Наконец,  $\tau_{\varphi}$  — время сбоя фазы — определяет время жизни куперона [16]. Все три масштаба могут существенно различаться и иметь разную температурную зависимость [11, 18, 19], и следствия этого обсуждались в работах [18-20]. Мы для простоты будем полагать, что  $\tau_p = \tau_e = \tau_{\varphi} = \tau_{in}^{\text{от}}(T)$ . Это может быть оправдано для достаточно дисперсионных фононов [11, 19]. Естественно, что  $\tau_{in}$  зависит от температуры, возрастая с понижением  $T$ . При высоких температурах  $T \gg \omega_D$ , где  $\omega_D$  — дебаевская частота,

$$1/\tau_{in}(T) = 2\pi g T, \quad g = (\lambda^2/\omega_D) N(0). \quad (24a)$$

Здесь  $\lambda$  — постоянная электрон-фононного взаимодействия. В области  $T \ll \omega_D$  зависимость  $\tau_{in}(T)$  вычислялась в ряде работ [11, 18, 19]. Феноменологически ее обычно представляют в виде [21, 23]

$$1/\tau_{in}(T) = g\omega_D (T/\omega_D)^p, \quad (24b)$$

где показатель  $p$  зависит от механизма рассеяния ( $p \geq 1$ ). В частности, для трехмерных акустических фононов  $p=3$  [11]. Для последующего будет важно, что благодаря малости электрон-фононной связи всегда удерживается неравенство

$$T\tau_{in}(T) \gg 1. \quad (25)$$

В принципе роль фононов могут взять на себя и другие взаимодействия.

## 2. Прыжковая проводимость вблизи андерсоновского перехода

Вопрос о прыжковой проводимости в сильно анизотропной системе  $t_c \ll t_{\perp} \ll \epsilon_F$  рассматривался в [3, 23]. Ниже мы обсудим кинетику квазиодномерной системы при  $t_{\perp} \simeq t_c$ . На рис. 1 по оси отложено время неупругих столкновений  $\tau_{in}(T)$  и указаны характерные масштабы  $\tau$  и  $\tau_c$ . Соответствующие температуры  $T_b$  и  $T_c$  можно определить как

$$\tau_{in}(T_b) = \tau, \quad \tau_{in}(T_c) = \tau_c, \quad (26)$$

причем, так как  $\tau_c \gg \tau$ , то и  $T_b \gg T_c$ .

Прежде всего существенным для определения механизма переноса является соотношение между  $\tau_{in}(T)$  и  $\tau_c$  [11, 13, 24]. Если  $\tau_{in} < \tau_c$  или  $T > T_c$ , то электрон не успевает локализоваться. Раньше он испытывает

столкновение с фононом и переходит в новое энергетическое состояние. В промежутке между неупругими рассеяниями электрон движется диффузионно с аномальным законом (19), если  $T_c < T < T_b$ ; тогда

$$D_j(T) = D_j^0 (\tau/\tau_{in}(T))^{1/2}, \quad \sigma_j(T) = \sigma_j^0 (\tau/\tau_{in}(T))^{1/2}. \quad (27)$$

При температурах  $T > T_b$  ( $\tau_{in}(T) < \tau$ ) в промежутке между неупругими столкновениями электрон движется баллистически, и в этом случае мы имеем обычную кинетику, описываемую уравнением Больцмана

$$\begin{aligned} \sigma_{\parallel}(T) &= 2e^2 N(0) l_{in}^2(T)/\tau_{in}(T), & \sigma_{\perp}(T) &= e^2 N(0) a_{\perp}^2 w_{\perp}(T), \\ l_{in}(T) &= v_F \tau_{in}(T), & w_{\perp}(T) &= t_{\perp}^2 \tau_{in}(T), & \sigma_{\parallel}(T)/\sigma_{\perp}(T) &= 2(v_F/a_{\perp} t_{\perp})^2. \end{aligned} \quad (28)$$

Здесь фононы вносят вклад в сопротивление.

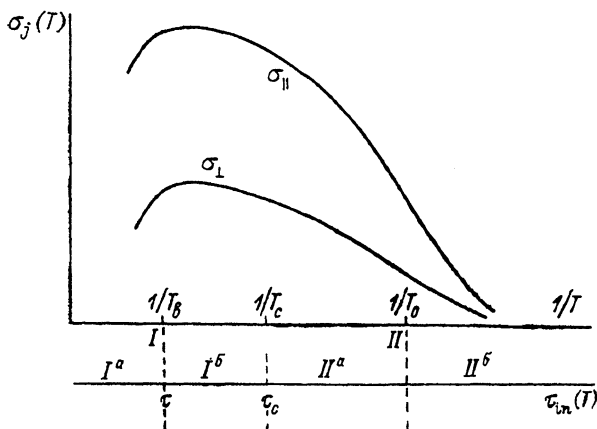


Рис. 1. Схематичный ход температурной зависимости прыжковой проводимости в квазиодномерном диэлектрике вблизи перехода металл—диэлектрик.  $\epsilon = (t_c - t_{\perp})/t_c \ll 1$ .  $I^a$  — зонный перенос, причем в области  $I^a$  электросопротивление обеспечивается рассеянием на фононах (28), а в области  $I^b$  имеет место скалинговое поведение (27);  $II^a$  — прыжковый перенос, где в  $I^a$  реализуются прыжки на расстояние  $\xi_j$  (29—30), а в  $II^b$  — прыжки переменной длины (36).

Для  $t_{\perp} > t_c$  в области температур  $T < T_c$  проводимость выходит на остаточное значение, даваемое уравнениями (6)—(7). В диэлектрической фазе, когда  $t_{\perp} < t_c$ , при  $T < T_c$  электрон успевает локализоваться и некоторое время будет ждать, чтобы совершить активированный прыжок на новое место локализации. В этом режиме фононы выступают в качестве механизма, обеспечивающего движение электрона, и мы имеем дело с прыжковой проводимостью. Среднее расстояние, на которое электрон совершает прыжок, равно  $\xi_j$ , а частота, с которой электрон совершает прыжки, равна  $1/\tau_{in}(T)$ . В результате коэффициент диффузии и проводимость оцениваются как

$$D_j(T) = \xi_j^2/\tau_{in}(T), \quad \sigma_j(T) = 2e^2 N(0) D_j(T). \quad (29)$$

Формулы такого типа были получены в работах [9, 11, 24].

Полезным представляется привести следующие физические соображения, из которых следуют формулы (27)—(29). При рассмотрении примесного рассеяния мы всегда говорили о проводимости электрона с данной энергией. При наличии неупругих процессов состояние с данной энергией становится квазистационарным с конечным временем жизни  $\tau_{in}(T)$ . Следовательно, проводимость такого состояния будет равна

$$\sigma_j(\omega, T) = \sigma_j(\omega + i/\tau_{in}(T)), \quad (30)$$

где  $\sigma_j(\omega)$  — проводимость на частоте  $\omega$  для чисто примесной системы. Используя для  $\sigma_j(\omega)$  результаты (13)—(15), мы приходим к (27)—(29).

Рассмотренная выше прыжковая проводимость предполагает, что в переносе принимают участие состояния вблизи уровня Ферми, находящиеся

друг от друга на расстоянии порядка или меньше  $\xi_j$ , поскольку для них индуцированные фононами частоты переходов оказываются максимальными. Однако при этом мы пренебрегли энергетическим фактором в вероятностях перехода [6, 7]. Как известно, для таких состояний отталкивание уровней максимально и разность энергий для этих состояний равна  $\omega_c$ . Тогда ясно, что при  $T > \omega_c$  энергетический беспорядок несуществен и все определяется пространственным перекрытием состояний. Отсюда находим область температур, в которой справедливы формулы (27)–(29), как  $T > T_0$ , где

$$T_0 = \omega_c = 1/\tau_c = 1/[N(0) \xi_1 \xi_1^2]. \quad (31)$$

Значение  $\omega_c$  дается (17). Заметим, что в соответствии с (25)  $T_0 \ll T_c$ .

В области температур  $T \ll T_0$  необходимо учитывать зависимость вероятности перехода от положения уровней, и мы приходим к так называемому режиму прыжкового переноса с переменной длиной [6, 7]. Для вероятности прыжка между состояниями, удаленными друг от друга на расстояние  $r$ , имеется следующая качественная зависимость:

$$W(r) = \nu(T) \exp[-2r - \Delta E(r)/T], \quad (32)$$

где  $r$  дается в единицах радиуса локализации (см. (18));  $\Delta E(r)$  — типичное значение разности уровней двух состояний, отстоящих на расстоянии  $r$ ;  $\nu(T)$  — частота попыток, приближенно равная  $1/\tau_{in}(T)$ . При случайном распределении состояний в пространстве и по энергии, как это имеет место при слабой локализации,  $\Delta E(r)$  можно оценить по формуле

$$\Delta E(r) = [N(0) \xi_1 \xi_1^{d-1} r^d]^{-1} = T_0/r^d, \quad (33)$$

где мы перешли к рассмотрению квазиодномерной модели, обобщенной на  $d$ -мерный случай. Из (32) с учетом (33) следует, что оптимальные прыжки происходят на расстояние

$$r_c(T) = (dT_0/2T)^{1/(d+1)} \quad (34)$$

с частотой

$$W_c(T) = \langle W \rangle = \nu(T) e^{-b_d(T_0/2T)^{1/(d+1)}}, \quad (35)$$

где  $b_d = 2(d+1)d^{-d/(d+1)}$ , и тогда проводимость равна

$$\sigma_{\perp}(T) = 2e^2 N(0) (\xi_1 r_c(T))^2 W_c(T), \quad \sigma_{\parallel}(T) = 2e^2 N(0) (\xi_{\parallel} r_c(T))^2 W_c(T). \quad (36)$$

Результат (36) представляет собой формулу Мотта [6, 7]. Существенно, что она основана на допущении, что проводимость системы определяется вероятностью парного перехода. Иначе говоря, система представляет собой сетку параллельно включенных проводников. В строго одномерном случае мы имеем дело скорее с последовательным соединением, тогда представленные выше соображения теряют силу [8].

Таким образом, можно утверждать, что формула (36) справедлива для квазиодномерной системы, если  $\xi_1 \gg a_1$ , т. е. вблизи перехода металл—диэлектрик. При этом выполняется соотношение  $T_0 \ll t_1 \approx 1/\tau$ . Результаты для проводимости в этом случае собраны на рис. 1.

### 3. Низкочастотная прыжковая проводимость одномерной системы

Прежде чем рассмотреть проводимость квазиодномерной системы с  $t_1 \ll t_c$ , изучим проводимость одномерной системы на конечной частоте, а затем по известной схеме [10] учтем межцепочечные перескоки. Определим вначале функцию распределения вероятностей для парных переходов. Аналогично (32)  $w$  получается в результате перемножения двух факторов

$$w_{\alpha\beta} = \nu e^{-2f_{\alpha\beta}}, \quad f_{\alpha\beta} = r_{\alpha\beta} + \varepsilon_{\alpha\beta}, \quad (37)$$

$$r_{\alpha\beta} = x_{\alpha\beta}/\xi_{\parallel}, \quad \xi_{\parallel} = 4l, \quad \varepsilon_{\alpha\beta} = \frac{1}{4T} (|\varepsilon_{\alpha} - \varepsilon_{\beta}| + |\varepsilon_{\alpha} - \varepsilon_F| + |\varepsilon_{\beta} - \varepsilon_F|),$$

где  $x_{\alpha\beta}$  — расстояние между состояниями  $\alpha$  и  $\beta$ ;  $\varepsilon_{\alpha}$ ,  $\varepsilon_{\beta}$  — их энергии. В режиме слабой локализации состояния в плоскости координата—энергия распределены случайно, тогда функция распределения расстояния между ближайшими состояниями в  $\varepsilon$ - $x$  плоскости в безразмерных единицах дается формулой Пуассона [8]

$$P(f) = (2f/f_0^2) \exp[-(f/f_0)^2], \quad (38)$$

где

$$f_0^2 = [2N(0) a_1^2 \xi_{\parallel} T]^{-1} = T_0/2T, \quad T_0 = \omega_0 = \pi/4\tau. \quad (39)$$

Напомним, что мы интересуемся областью  $T \ll T_0$ . При  $T \gg T_0$   $\sigma(\omega)$  дается уравнением (30). Согласно (37), зависимость вероятности перехода  $w$  от  $f$  качественно может быть представлена в виде [8]

$$w(f) = \nu e^{-2f}. \quad (40)$$

Используя (38), для функции распределения  $w$  найдем следующее выражение:

$$P(w) = \frac{2\gamma}{w} \left(\frac{w}{\nu}\right)^{\gamma}, \quad \gamma = \frac{\ln(\nu/w)}{4f_0^2}. \quad (41)$$

Оно весьма похоже на соответствующее выражение для модели случайно расположенных узлов [25, 26] с тем отличием, что  $\gamma$  здесь является медленно меняющейся функцией  $w$ .

Для вычисления частотной зависимости проводимости мы воспользуемся приближением эффективной среды [27, 28]. Согласно этому приближению, проводимость равна [28]

$$\sigma(\omega) = \bar{\sigma}_0 f_0^2 \frac{\bar{w}(-i\omega)}{\nu(T)}, \quad \bar{\sigma}_0 = 2e^2 N(0) \xi_{\parallel}^2 \nu(T), \quad (42), (43)$$

где  $w(s)$  — эффективная вероятность прыжка, зависимость которой от частоты следует находить из уравнения

$$\bar{w} \int \frac{P(w) dw}{w(1-sD_{00}(s)) + s\bar{w}D_{00}(s)} = 1, \quad D_{00}(s) = \frac{1}{(s(4\bar{w} + s))^{1/2}}. \quad (44)$$

Здесь  $D_{00}(s)$  — автокорреляционная функция. С учетом (38) и (40) уравнение (44) принимает вид

$$\frac{\bar{w}(s)}{\nu} = e^{-f_0^2} \left\{ \int_0^{\infty} \frac{df^2}{f_0^2} \frac{\exp[-((f-f_0)/f_0)^2]}{1 + \exp[2(f-f_c)]} \right\}^{-1}, \quad (45)$$

где

$$f_c = 1/4 \ln(4\nu^2/s\bar{w}(s)),$$

и мы полагаем, что  $s \ll \bar{w}(s)$ .

Для нахождения экспоненциальной зависимости  $\bar{w}(s)$  при  $f_0^2 \gg 1$  и  $s \ll \nu$  достаточно в интеграле в (45) ограничиться перевальным значением. В области низких частот  $\omega \ll \omega_1$ , где

$$\omega_1 = \nu \exp(-3f_0^2) = \nu \exp(-3/2(T_0/T)), \quad (46)$$

перевал приходится на значение  $f = f_0^2$ , где

$$\bar{w}(s) = \nu \exp(-f_0^2), \quad (47)$$

откуда находим, что статическая проводимость равна

$$\sigma(T) = \bar{\sigma}_0(T_0/2T) e^{-T_0/2T}. \quad (48)$$

Эта активационная зависимость была впервые получена Куркьярви [8]. Она имеет простое происхождение и отражает тот факт, что в настоящей модели электрон всегда имеет возможность обойти тяжелый участок, активируясь на близко расположенные уровни, но с более высокой энергией, или наоборот. В результате прыжки в каждом акте происходят на расстояние, не превосходящее

$$x(T) = \xi_1 f_0^2(T), \quad \xi_1 = 4l. \quad (49)$$

Частотная зависимость проводимости появляется начиная с частоты  $\omega \geq \omega_1$ . Здесь перевал в (45) находится при  $f=f_c$ . Найдем

$$\bar{w}(s) = v(s/v)^{1-2\bar{\gamma}}, \quad \sigma(\omega)/\sigma_0 = (-i\omega/v)^{1-2\bar{\gamma}(\omega)}, \quad (50)$$

$$\bar{\gamma}(\omega) = \frac{\sqrt{1+\delta(\omega)}-1}{\sqrt{1+\delta(\omega)}+1}, \quad \delta(\omega) = \frac{1}{f_0^2} \ln \frac{v}{\omega}. \quad (51)$$

Прыжки в этом случае происходят на расстояние

$$x(\omega) = \xi_1 f_c = \xi_{||} \frac{1-\bar{\gamma}(\omega)}{2} \ln \frac{v}{\omega}. \quad (52)$$

Учитывая, что  $\omega \geq \omega_1$ , замечаем, что  $\bar{\gamma} \leq 1/3$ . Результат (50) представляется естественным, если принять во внимание распределение (41). Для модели случайно расположенных узлов, в которой распределение  $w$  имело вид, аналогичный (41) с  $\gamma = \text{const}$ , характерно именно степенное поведение частотной зависимости проводимости [25-28]. Область применения (50) ограничена сверху условием  $s < \bar{w}(s)$ , а снизу  $\omega_1$  или в целом интервалом

$$\omega_1 < \omega < \omega_2, \quad (53)$$

где

$$\omega_2 = v \exp(-4f_0) = v \exp[-2(2T_0/T)^{1/2}]. \quad (54)$$

Смысл граничной частоты  $\omega_2$  достаточно ясен. При  $\omega \simeq \omega_2$  значение  $\sigma(\omega)$  сравнивается с моттовским значением проводимости, следующим из (36). Ранее частотная зависимость проводимости вычислялась в рамках кластерного приближения [29]. Результат для  $\sigma(\omega)$  представляется также уравнением (50) с  $\bar{\gamma} = \delta(\omega)/4$ , что, как видно из сравнения с (51), справедливо лишь в области частот  $(T_0/T)^{1/2} \leq \ln(v/\omega) \leq (T_0/T)^{1/2}$ .

При частотах  $\omega > \omega_2$  справедливым становится парное приближение [6, 29, 30]

$$\frac{\sigma(\omega)}{\sigma_0} = \frac{1}{f_0^2} \frac{\omega}{v} \ln^2 \frac{\omega}{v}. \quad (55)$$

Видно, что зависимости (48), (50) и (55) непрерывно переходят друг в друга.

#### 4. Прыжковая кинетика в пределе слабых межцепочечных перескоков

Обратимся теперь к квазиодномерной системе со слабым поперечным перекрытием  $t_{\perp} \ll t_c$ . Для нее, согласно (21), имеем  $\xi_{||} = 4l$ ,  $\xi_{\perp} = a_{\perp}$ , и, стало быть, частота  $\omega_c = 1/\tau_c$  и характерная температура  $T_0$ , разделяющая высоко- и низкотемпературные области, согласно (17), равна

$$T_0 = 1/\tau_c = \omega_0 = \pi/4\tau. \quad (56)$$

Температуры  $T_b$  и  $T_c$ , задаваемые уравнением (26), в этом случае совпадают  $T_b = T_c$ . Следовательно, область скэйлинговой зависимости отсутствует, а при  $T > T_b$  мы имеем обычный зонный перенос, где сопротивление обусловлено рассеянием на фононах и  $\sigma_j(T)$  дается уравнением (28).



В области температур  $T_0 < T < T_b$  (рис. 2) беспорядок по-прежнему оказывается несущественным и для  $\sigma(\omega, T)$  справедлива формула (30). Учитывая (5) и (20), явное выражение для проводимости можно записать в виде [3, 23]

$$\sigma_{\parallel}(T) = 2e^2 N(0) \xi_{\parallel}^2 / \tau_{in}(T), \quad (57)$$

$$\sigma_{\perp}(T) = 2e^2 N(0) a_{\perp}^2 w_{\perp}(T), \quad w_{\perp}(T) = (t_{\perp} \tau)^2 / \tau_{in}(T). \quad (58)$$

Результат для  $\sigma_{\perp}(T)$ , так же как и в (28), соответствует прыжкам между ближайшими цепочками. Однако частота перескоков в (58)  $w_{\perp}(T)$  отличается от частоты, фигурирующей в (28). Тем не менее значение анизотропии

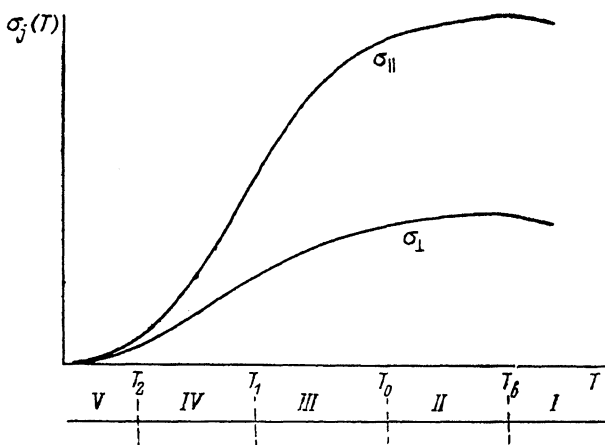


Рис. 2. Схематичная зависимость прыжковой проводимости от температуры в квазиодномерной системе со слабым межцепочечным перекрытием ( $t_{\perp} \tau \ll 1$ ).

I — зонный перенос с фононным рассеянием (28); II — прыжковый режим с длиной прыжка, равной  $\xi_j$  (57); III — продольный перенос происходит активационным образом (48), а поперек в соответствии с одномерным моттовским законом (64); IV — продольная проводимость осуществляется с участием ближайших цепочек (71), а поперечная проводимость дается по-прежнему одномерным законом Мотта (64); V — трехмерная прыжковая проводимость с переменной длиной прыжка (80).

тропии проводимости оказывается тем же самым и не зависит от температуры

$$\sigma_{\parallel}(T) / \sigma_{\perp}(T) = (\xi_{\parallel} / a_{\perp} t_{\perp} \tau)^2 \approx (v_F / a_{\perp} t_{\perp})^2. \quad (59)$$

При  $T < T_0$  необходимо уже учитывать энергетический беспорядок. Для вероятности перехода между состояниями на соседних цепочках, отстоящих друг от друга на расстоянии  $x$  в продольном направлении, можно написать

$$\frac{w_{\perp}(x)}{v} = (t_{\perp} \tau)^2 e^{-2x / \xi_{\parallel}} e^{-\Delta E(x) / T}. \quad (60)$$

Первые два множителя в (60) описывают пространственное перекрытие между состояниями, причем фактор  $(t_{\perp} \tau)^2$  можно также представить в виде

$$(t_{\perp} \tau)^2 = e^{-2\beta_{\perp} a_{\perp}} = e^{-2x}, \quad (61)$$

где  $\beta_{\perp}$  — обратный радиус локализации, определенный уравнениями (22), (23). Последний множитель в (60) отражает энергетический беспорядок. При  $t_{\perp} \tau \ll 1$  уровни на соседних цепочках нескоррелированы и  $\Delta E(x)$  можно оценить по формуле

$$\Delta E(x) = [N(0) a_{\perp}^2 x]^{-1} \frac{1}{z}, \quad (62)$$

где фактор  $z = 2^{d-1}$ , равный числу ближайших цепочек, отвечает тому, что электрон может перейти на любую из  $z$  соседних цепочек. Оптимизируя  $w_{\perp}(x)$  по  $x$ , для эффективной вероятности межцепочечных перескоков получим

$$w_{\perp}(T) = \sqrt{e^{-2(x+f_0)}} = \frac{(t_{\perp}\tau)^2}{\tau_{jn}} e^{-(2T_0/T)^{1/2}}, \quad (63)$$

откуда для поперечной проводимости найдем следующее выражение:

$$\sigma_{\perp}(T) = 2e^2 N(0) a_{\perp}^2 w_{\perp}(T), \quad (64)$$

что соответствует одномерному варианту формулы Мотта.

Рассмотрим теперь поведение продольной проводимости в области  $T < T_0$ . Если ограничиться переходами только между ближайшими нитями, то для определения продольной проводимости с учетом межцепочечных перескоков, согласно [10], имеется следующее уравнение:

$$\sigma_{\parallel}(\omega, T) = \sigma_1(\omega + iw_{\perp}(T)), \quad (65)$$

где  $\sigma_1(\omega)$  — вычисленная ранее проводимость одномерной цепочки (см. (48), (50), (55)), а  $w_{\perp}(T)$  дается уравнением (63). Анализируя (65), можно выделить следующие температурные области. При  $T_1 \leq T \leq T_0$ , где

$$T_1 = \frac{3}{4} \frac{T_0}{\alpha} = \frac{3}{4} T_0 \left/ \ln \left( \frac{4T_0}{\pi t_{\perp}} \right) \right., \quad (66)$$

для  $\sigma_{\parallel}(T)$  сохраняется одномерный результат (48). В этой области температур внутрицепочечные перескоки случаются чаще, чем межцепочечные. Температура  $T_1$  отвечает ситуации, когда  $w_{\perp}(T)$  оказывается порядка минимальной частоты для внутрицепочечных переходов  $\omega_1(T)$ . В области температур  $T_2 \leq T \leq T_1$ , где

$$T_2 = \frac{T_0}{2\alpha^2} = T_0 \left/ \left( 2 \left| \ln \frac{4T_0}{\pi t_{\perp}} \right|^2 \right) \right., \quad (67)$$

продольная проводимость контролируется частотой межцепочечных перескоков. Здесь характерная частота и длина внутрицепочечного перехода, согласно (64) и (50)—(51), равны

$$w_{\parallel}(T) = w_{\perp}(T) \exp[-2y^2(T)/f_0^2(T)], \quad (68)$$

$$y(T) = x(T)/\xi_{\parallel} = f_0^2(T) (\sqrt{1 + \delta(T)} - 1), \quad (69)$$

$$\delta(T) = 2(\alpha + f_0(T))/f_0^2(T). \quad (70)$$

Продольная проводимость выражается через  $w_{\parallel}(T)$  и  $y(T)$  следующим образом:

$$\sigma_{\parallel}(T) = 2e^2 N(0) x^2(T) w_{\parallel}(T) = \delta_0 y^2(T) \frac{w_{\parallel}(T)}{v}. \quad (71)$$

В области  $T_2 \leq T \leq T_1$  уравнения (68)—(69) могут быть упрощены

$$w_{\parallel}(T) = w_{\perp}(T) e^{2T/T_2}, \quad y(T) = (T_0/2T)^{1/2} [1 + (T/T_2)^{1/2}]. \quad (72)$$

При  $T \simeq T_2$ , как следует из (72) и (54), частоты межцепочечных и внутрицепочечных перескоков сравниваются и оказываются порядка моттовского значения для одномерной системы  $\omega_2$ . Таким образом, в интервале  $T_2 \leq T \leq T_1$  анизотропия меняется от значения

$$w_{\perp}(T_1)/w_{\parallel}(T_1) = (t_{\perp}\tau)^{1/2} \quad (73)$$

до единицы при  $T \simeq T_2$  (рис. 3).

При  $T < T_2$  необходимо учесть возможность перескоков между далекими цепочками. Для вероятности перехода между состоянием на нулевой цепочке и состоянием на  $n$ -й цепочке, отстоящим в продольном направлении на расстоянии  $x$ , можно написать

$$W_n(x) = v \exp \left( -2 \frac{x}{\xi_{\parallel}} - 2\alpha n - \frac{\Delta E_n(x)}{T} \right), \quad (74)$$

где  $\Delta E_n(x)$  — характерное значение разности энергий между рассматриваемыми состояниями. Полагая, что распределение состояний по цепочкам носит случайный характер,  $\Delta E_n(x)$  можно оценить как

$$\Delta E_n(x) = [N(0) x a_1^{d-1}]^{-1} (n+1)^{-(d+1)}. \quad (75)$$

Оптимизируя (74) по  $x$ , найдем

$$\tilde{W}_n = \nu \exp[-4(T_0/2T)^{1/2} (n+1)^{-(d-1)/2} - 2x_n]. \quad (76)$$

Отсюда также следует, что если  $T \geq T_2 = T_0/2x^2$ , то более предпочтительными оказываются прыжки между соседними цепочками. В области  $T < T_2/9$  включаются прыжки между цепочками, следующими за бли-

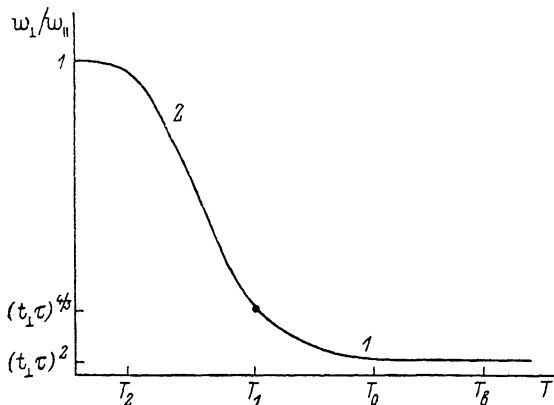


Рис. 3. Температурная зависимость анизотропии частот перескоков в квазиодномерной системе со слабым перекрытием ( $t_\perp \tau \ll 1$ ).

Участки кривой 1 и 2 описываются уравнениями (48), (63) и (68), (72) соответственно.

жайшими, и т. д. При  $T \ll T_2$  следует оптимизировать выражение (76) по  $n$ . В результате получим

$$W_c(T) = \nu (t_\perp \tau)^{2p(T)}, \quad p(T) = \frac{d+1}{d-1} \left( \frac{(d-1)^2 T_2}{2T} \right)^{\frac{1}{d+1}} - 1, \quad (77)$$

$$\frac{x_c(T)}{\xi_\parallel} = \frac{x}{d-1} \left( \frac{(d-1)^2 T_2}{2T} \right)^{\frac{1}{d+1}}, \quad (78)$$

$$n_c(T) = ((d-1)^2 T_2/2T)^{1/(d+1)} - 1, \quad (79)$$

при этом для проводимости имеем

$$\sigma_\parallel(T) = 2e^2 N(0) x_c^2(T) W_c(T), \quad \sigma_\perp(T) = 2e^2 N(0) (a_\perp n_c(T))^2 W_c(T). \quad (80)$$

Формулы (76)—(79) представляют собой по сути результат Мотта для прыжковой проводимости с переменной длиной в  $d$ -мерной анизотропной системе. Выражению для  $W_c$  можно придать вид, аналогичный (35)

$$W_c(T) = \nu A \exp\left[-\delta_d (\tilde{T}_0/2T)^{\frac{1}{d+1}}\right], \quad (81)$$

где

$$\delta_d = 2(d+1)(d-1)^{-(d-1)/(d+1)}, \quad A = (t_\perp \tau)^{-2}, \\ \tilde{T}_0 = [N(0) \xi_\parallel \beta_1^{-(d-1)}]^{-1} = T_0 x^{d-1}. \quad (82)$$

Выше для  $\beta_\perp$  мы использовали соотношение (23).

Итоги вычисления  $\sigma_j(T)$  для  $t_\perp \ll t_c$  собраны на рис. 2. Видно, что различные зависимости переходят друг в друга непрерывным образом.

## 5. Обсуждение результатов

Основным результатом настоящей работы является температурная и частотная зависимости прыжковой проводимости вырожденного Ферми-газа со слабым беспорядком в квазиодномерной системе (соответствующие уравнения указаны в подписи к рис. 1, 2). Для понимания кинетического режима, реализующегося при данной температуре, важным масштабом является температура  $T_0$ . При  $T = T_0$  среднее расстояние между случайно расположенными состояниями, принимающими участие в переносе,  $r(T) = (N(0)T)^{-1/2}$ , сравнивается со средним радиусом локализации  $\xi = (\xi_{\parallel} \xi_{\perp}^2)^{1/3}$ . Ясно, что в высокотемпературной области  $T > T_0$  беспорядок в распределении состояний оказывается несущественным и прыжковая проводимость целиком определяется скоростью неупругой релаксации. В результате характер температурной зависимости проводимости  $\sigma(T)$  зависит от свойств фононной подсистемы, которые для данного типа материалов оказываются во многом специфичными [17-20].

В низкотемпературной области  $T < T_0$  решающим фактором в формировании температурной зависимости проводимости оказывается беспорядок в распределении состояний в пространстве и по энергии. Поэтому появляющиеся здесь зависимости оказываются универсальными. Согласно Мотту, проводимость в этом случае задается оптимальными путями протекания тока и для экспоненциально локализованных состояний следует хорошо известный закон  $\ln \sigma \approx -(T_0/2T)^{1/(d+1)}$ . В квазиодномерной системе закон Мотта в таком виде реализуется, если система близка к андерсоновскому переходу металл-диэлектрик, когда  $\xi_{\perp} \gg a_{\perp}$ . Сам переход при этом проявляется в виде дополнительной температурной области степенной зависимости, непосредственно предшествующей моттовскому закону (см. рис. 1 и уравнение (27)).

В квазиодномерной системе со слабым межцепочечным перекрытием низкотемпературное поведение проводимости задается тремя параметрами: масштаб беспорядка  $\tau$  или  $T_0 \approx \pi/4\tau$ , скоростью электронов вдоль нити  $v_F$  или плотностью состояний  $N(0) = 1/\pi v_F a_{\perp}^2$ , значением межцепочечного резонансного интеграла  $t_{\perp}$ . Этих параметров достаточно, чтобы описать всю низкотемпературную область прыжковой проводимости. Здесь в поведении  $\sigma$  как функции  $T$  можно выделить три характерные области (рис. 2). При  $T_1 < T < T_0$  ( $T_1 \approx T_0/\ln(T_0/t_{\perp})$ ) реализуется одномерный режим. Поперечная проводимость описывается одномерным законом Мотта  $\ln \sigma_{\perp} \approx -(T_0/2T)^{1/2}$ , в то время как продольная проводимость в соответствии с соображениями [8] определяется «тяжелыми» участками, которые электрон преодолевает путем активации в область энергий порядка  $T_0$ . В результате продольная проводимость показывает полупроводниковый ход  $\ln \sigma_{\parallel} \approx -T_0/2T$ , оставаясь при этом значительно больше поперечной проводимости.

Интервал  $T_2 < T < T_1$  ( $T_2 \approx T_1^2/T_0$ ) отвечает переходной области от одномерного поведения к трехмерному. В этом случае электрону становится более выгодно обойти «тяжелый» участок, совершив прыжок на соседнюю нить. С понижением температуры концентрация «тяжелых» участков растет, что выражается в экспоненциальном уменьшении анизотропии проводимости  $\ln(\sigma_{\parallel}/\sigma_{\perp}) \approx 2T/T_2$ . Наконец, при  $T \approx T_2$  происходит полная изотропизация в частотах перескоков (рис. 3). В области  $T < T_2$  необходимо уже учитывать возможность перескоков между цепочками, следующими за ближайшими соседями. Далее по мере понижения температуры будут включаться переходы между более далекими соседями. Их конкуренция в итоге приводит к установлению в области  $T \ll T_2$  моттовской температурной зависимости для проводимости, соответствующей трехмерной анизотропной системе.

Следует отметить, что вычисленная выше температурная зависимость проводимости непосредственно связана с ее частотной зависимостью посредством соотношений (30) и (65).

Рассмотренная выше система является уникальным объектом для изу-

чения слабой локализации. Прежде всего сам переход металл—диэлектрик здесь случается действительно при слабом беспорядке в отличие от трехмерных систем, где он происходит при  $\varepsilon_F \tau \approx 1$ . Отсюда также следует, что область температур, в которой можно наблюдать локализованную фазу, оказывается значительно выше, скажем, по сравнению с двумерными системами и, стало быть, является более доступной для изучения. В настоящее время среди квазиодномерных материалов наиболее изученными в отношении транспортных свойств являются соли TCNQ [31]. Однако для наблюдения слабой локализации они оказываются слишком «чистыми», а взаимодействие с фононами оказывается достаточно сильным, так что неравенство  $\tau_{in}(T) < \tau$  удерживается вплоть до температуры пайерлсовского перехода при  $T_p \approx 60$  К [31]. Проводимость в этом случае при  $T > T_p$  описывается формулой (28), причем поперечная проводимость действительно носит характер прыжков между ближайшими нитями, как это представлено в (28). Непосредственно частота межцепочечных перескоков может быть получена из данных по зависимости скорости релаксации ЯМР от магнитного поля [23, 31]. Для TTF—TCNQ, согласно [31], имеем  $\omega_{\perp}(300 \text{ К}) \approx 1.3 \cdot 10^{11} \text{ с}^{-1}$ ,  $\tau_{in}(300 \text{ К}) \approx 3 \cdot 10^{-15} \text{ с}$ , что действительно отвечает прыжковому режиму, так как  $\omega_{\perp} \tau_{in} \ll 1$  и  $t_{\perp} \approx \approx 6 \cdot 10^{12} \text{ с}^{-1}$  ( $\approx 46 \text{ К}$ ). Существуют, однако, три соли TCNQ, где имеется заметный внутренний беспорядок, обусловленный случайной ориентацией асимметричных катионов [31]. Имеющиеся экспериментальные данные уже интерпретировались в рамках прыжковой проводимости, описываемой уравнением (56) [18, 23]. Переход к экспоненциальной зависимости проводимости для них ожидается при  $T \leq T_0 \approx 50 \text{ К}$ . Однако данные по низкотемпературной проводимости и ЯМР для определения характера этой зависимости на сегодня отсутствуют. Результаты по температурной зависимости проводимости, полученные в настоящей работе, могут представлять интерес в связи с исследуемыми в последнее время такими квазиодномерными объектами, как бикристаллы [32] и поверхностные сверхрешетки [33].

В заключение авторы выражают благодарность Ю. А. Фирсову за полезное обсуждение результатов.

#### Л и т е р а т у р а

- [1] Mott N. F., Twose W. D. // *Adv. Phys.* 1961. V. 10. N 38. P. 107—163.
- [2] Березинский В. Л. // *ЖЭТФ*. 1973. Т. 65. № 3. С. 1251—1266.
- [3] Пригодин В. Н., Фирсов Ю. А. // *Письма в ЖЭТФ*. 1983. Т. 38. № 5. С. 241—243; Firsov Yu. A., Prigodin V. N. // *Localization in Disordered Systems* / Ed. by W. Weller, P. Ziesche. Teubner-Texte zur Physik, Teubner Verlag, Leipzig, 1984. V. 3. P. 194—209.
- [4] Apel W., Rice T. M. // *J. Phys. C*. 1983. V. 16. P. L1151—L1154.
- [5] Дорохов О. Н. // *Письма в ЖЭТФ*. 1986. Т. 42. № 2. С. 94—96.
- [6] Мотт Н., Девис Э. *Электронные процессы в некристаллических веществах*. М., 1982.
- [7] Шкловский Б. И., Эфрос А. Л. *Электронные свойства легированных полупроводников*. М., 1979.
- [8] Kurkijärvi J. // *Phys. Rev. B*. 1973. V. 8. N 2. P. 922—924; Shante V. K. S., Varma C. W., Bloch A. N. // *Phys. Rev. B*. 1973. V. 8. N 10. P. 4885—4889.
- [9] Shanté V. K. S. // *Phys. Rev. B*. 1977. V. 16. N 6. P. 2597—2607.
- [10] Пригодин В. Н., Самухин А. Н. // *ФТТ*. 1984. Т. 26. № 5. С. 1344—1348.
- [11] Гоголин А. А., Мельников В. И., Рашба Э. И. // *ЖЭТФ*. 1975. Т. 69. № 7. С. 327—349.
- [12] Wölfle P., Vollhardt D. // *Anderson Localization* / Ed. by Y. Nagaoka, H. Fukuyama Springer Series in Solid State Sciences, Springer Verlag, Berlin-Heidelberg, 1983. V. 39. P. 26—46.
- [13] Нахмедов Э. П., Пригодин В. Н., Фирсов Ю. А. // *ЖЭТФ*. 1987. Т. 92. № 6. С. 2133—2146.
- [14] Горьков Л. П., Дорохов О. Н., Пригара Ф. В. // *ЖЭТФ*. 1983. Т. 84. № 4. С. 1440—1452.
- [15] Альшулер Б. Л., Пригодин В. Н. // *Письма в ЖЭТФ*. 1987. Т. 45. № 11. С. 538—540.
- [16] Altshuler B. L., Aronov A. G. // *Electron-electron Interaction in Disordered Systems* / Ed. by A.L. Efros, M. Pollak. North-Holland, 1985. P. 1—154.
- [17] Gor'kov L. P. *Ibid.* P. 619—669.

- [18] Гоголин А. А., Золотухин С. П., Мельников В. И. и др. // Письма в ЖЭТФ. 1975. Т. 22. № 12. С. 564—569.
- [19] Abrikosov A. A., Ryzkin I. A. // Adv. Phys. 1978. V. 27. N 2. P. 147—230.
- [20] Kaveh M., Weger M., Gutfreund H. // Sol. St. Comm. 1979. V. 31. N 2. P. 83—88.
- [21] Giordano N. // Phys. Rev. B. 1980. V. 22. N 12. P. 5635—5652.
- [22] Gogolin A. A., Zimanyi G. T. // Sol. St. Comm. 1983. V. 46. N 6. P. 469—472.
- [23] Пригодин В. Н., Фирсов Ю. А. // ФТТ. 1987. Т. 29. № 7. С. 2073—2083.
- [24] Thouless D. J. // Phys. Rev. Lett. 1977. V. 39. N 22. P. 1137—1140.
- [25] Alexander S., Bernasconi J., Schneider W. R., Orbach R. // Rev. Mod. Phys. 1981. V. 53. N 2. P. 175—197.
- [26] Пригодин В. Н. // ЖЭТФ. 1984. Т. 86. № 1. С. 242—254.
- [27] Брыксин В. В. // ФТТ. 1980. Т. 22. № 7. С. 2048—2056.
- [28] Пригодин В. Н., Самухин А. Н. // ФТТ. 1983. Т. 25. № 6. С. 1720—1725.
- [29] Дорохов О. Н. // Письма в ЖЭТФ. 1983. Т. 38. № 3. С. 91—94.
- [30] Горьков Л. П., Дорохов О. Н., Пригара Ф. В. // ЖЭТФ. 1983. Т. 85. № 4. С. 1470—1489.
- [31] Jérôme D., Schulz H. J. // Adv. Phys. 1982. V. 31. N 4. P. 299—490.
- [32] Заварицкая Е. И. // Письма в ЖЭТФ. 1984. Т. 39. № 6. С. 311—314.
- [33] Xie X. C., Sarma S. D. // Phys. Rev. B. 1987. V. 36. N 8. P. 4466—4469.

Физико-технический институт  
им. А. Ф. Иоффе АН СССР  
Ленинград

Поступило в Редакцию  
19 мая 1988 г.